

УДК 681.5.03

ПРОЕКТ ПРОМЫШЛЕННО-ОТОПИТЕЛЬНОЙ ТЭЦ С РАЗРАБОТКОЙ АВТОМАТИЧЕСКОЙ СИСТЕМЫ РЕГУЛИРОВАНИЯ НЕПРЕРЫВНОЙ ДВУХСТУПЕНЧАТОЙ ПРОДУВКИ

Рыбак А.А.

Научный руководитель – к.э.н., старший преподаватель Кравченко В.В.

Задачами данного проекта являются:

1. Разработка вариантов автоматизации непрерывной продувки барабанного котла БКЗ-420 на современной аппаратуре.
2. Разработка структурной, функциональной и принципиальной электрической схемы управления.

Основания для проектирования

Химический состав воды, циркулирующий в барабанных котлах, оказывает существенное влияние на длительность их безостановочной работы и безремонтной компании. К основным показателям качества котловой воды относят общее солесодержание (концентрация солей в пересчете на соли NaCl мг/кг). Повышение общего солесодержания может привести к уносу солей котловой воды в пароперегреватель и проточную часть турбоагрегата. Поддержание общего солесодержания котловой воды в пределах нормы осуществляют с помощью непрерывной и периодических продувок из барабана в специальные расширители. Потери котловой воды с продувкой восполняют питательной водой в количестве, определяемом уровнем воды в барабане котельного агрегата. Непрерывная продувка служит для удаления избытка соли NaCl и оксидов кремния SiO_2 , скапливающихся в котловой воде в процессе парообразования. Регулирование непрерывной продувки осуществляют воздействием регулятора продувки на регулировочный клапан на линии продувки.

На вход ПИ-регулятора поступают сигналы по расходу пара D_{np} и расходу продувочной воды D_{np} , а также корректирующий сигнал по солесодержанию солей NaCl . Расход воды непрерывной продувки колеблется в пределах 0,5–2 % максимальной производительности парового котла. В пусковых режимах допускается до 5%.

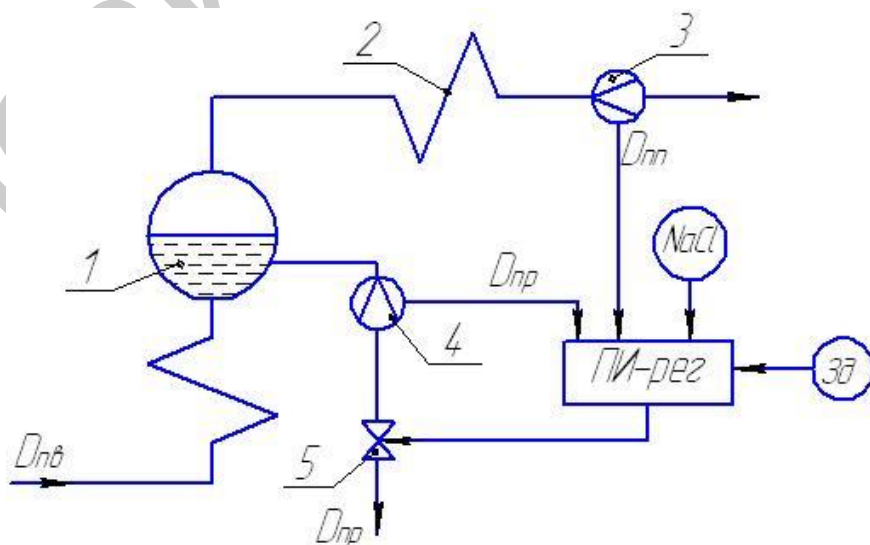


Рисунок 1 – Схема регулирования непрерывной продувки:

1 – барабан к/а, 2 – пароперегреватель, 3 – датчик расхода свежего пара $^D_{пп}$, 4 – датчик расхода продувочной воды $D_{пр}$, 5 – регулирующий орган продувки, ПИ-рег – регулятор продувки, Зд – задатчик ручного управления.

В ходе выполнения проекта были рассмотрены 2 варианта аппаратуры компании «Siemens»: «Simatic S7–1200» и «Simatic S7–300».

Для решения поставленной задачи выбрал следующие элементы: Контроллеры измерительные «Simatic S7–1200» на базе центрального процессора CPU 1211C и модуля ввода–вывода аналоговых сигналов SM 1231; 2 расходомера и блоки питания выбрал на базе аппаратуры «Метран», АЖК-3102 анализатор жидкости кондуктометрический промышленный стационарный. Программируемые контроллеры «Simatic S7–1200» – это новое семейство системных микроконтроллеров для решения самых разных задач автоматизации различного уровня. Эти контроллеры имеют модульную конструкцию и универсальное назначение.

ИСХОДНЫЕ ДАННЫЕ ДЛЯ МОДЕЛИРОВАНИЯ

Рассчитаем параметры оптимальной динамической настройки каскадной системы автоматизированного регулирования и провести анализ оптимальных переходных процессов при основных возмущающих воздействиях.

Объект регулирования представлен в виде двух участков:

$$1) \text{ Опережающего } W_{\text{оп}}(p) = \frac{k_{\text{оп}}}{(T_{\text{оп}}p+1) \cdot (\sigma_{\text{оп}}p+1)}, \quad (1)$$

$$2) \text{ Инерционного } W_{\text{ин}}(p) = \frac{k_{\text{ин}} \cdot e^{-\tau_{\text{у}} p}}{(T_k p + 1)}, \quad (2)$$

Для регулирования используется:

$$1) \text{ Стабилизирующий ПИ-регулятор: } W_{p1}(p) = \frac{K_{p1}(T_{i1}p+1)}{T_{i1}p}, \quad (3)$$

2)

$$3) \text{ Корректирующий ПИ-регулятор: } W_{p2}(p) = \frac{K_{p2}(T_{i2}p+1)}{T_{i2}p}, \quad (4)$$

Исходные данные приведены в таблице 1.

Таблица 1 – Исходные данные для настройки

Параметры системы	Значения
Коп, $^{\circ}\text{C}/\text{т/ч}$	6,0
Топ, с	23,0
$\sigma_{\text{оп}}$, с	2,3
Кин	1,2
Tк, с	140,0
$\tau_{\text{у}}$, с	102
Внешнее возмущение	$W_b(p) = \frac{5}{30p + 1}$

Для выбора оптимальных параметров настройки регуляторов в проекте было проведено сравнение следующих методов: метод БНТУ, метод БНТУ с учетом феномена Золотого сечения, структурно-параметрическая оптимизация КСАР на базе передаточной функции оптимального регулятора, реализация каскадной САР на базе регулятора Кулакова, несколько зарубежных методов, МПК в ОВ-1 (с заменой корректирующего ПИ-регулятора на ПИД). В каждом пункте кроме стандартной методики расчёта методов, были предложены также и их модернизации, направленные на улучшения качества регулирования по

сравнению с базовым методом. В итоге было выбрано 4 лучших метода, их сравнительный анализ приводится ниже.

Моделирование переходных процессов лучших КСАР

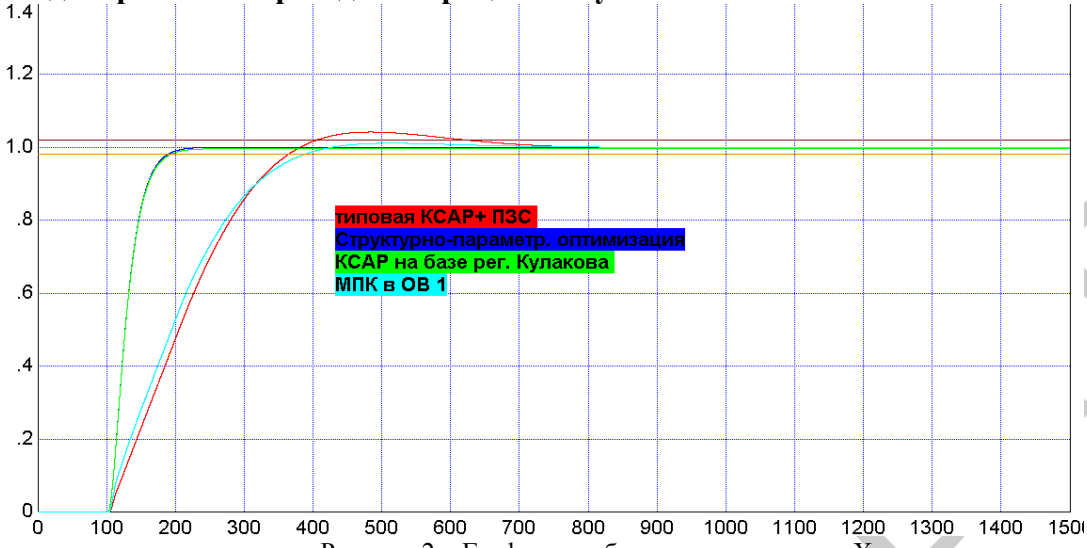


Рисунок 2 – График отработки скачка задания $X_{зд}$

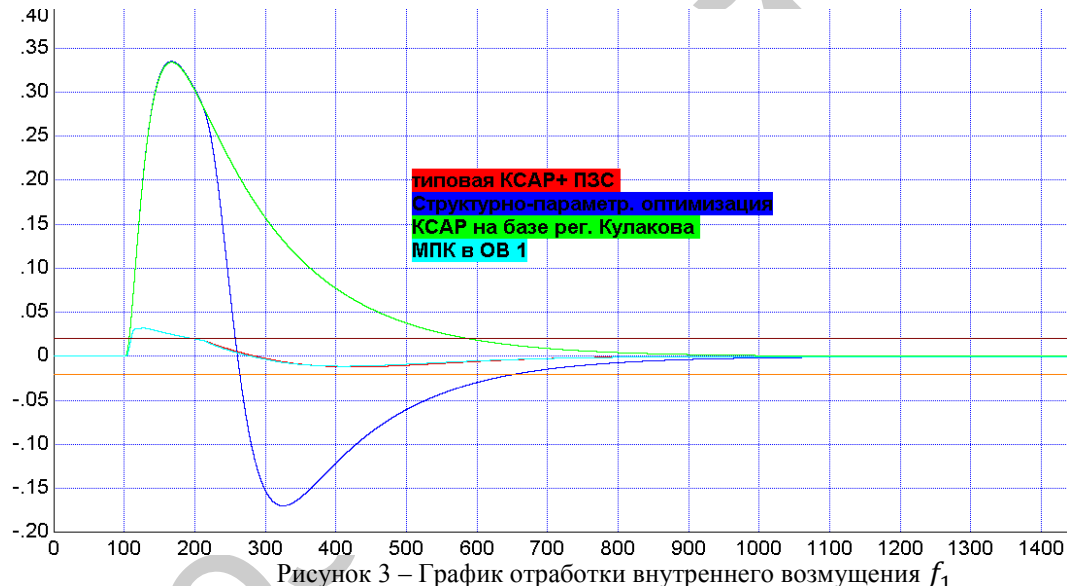


Рисунок 3 – График отработки внутреннего возмущения f_1

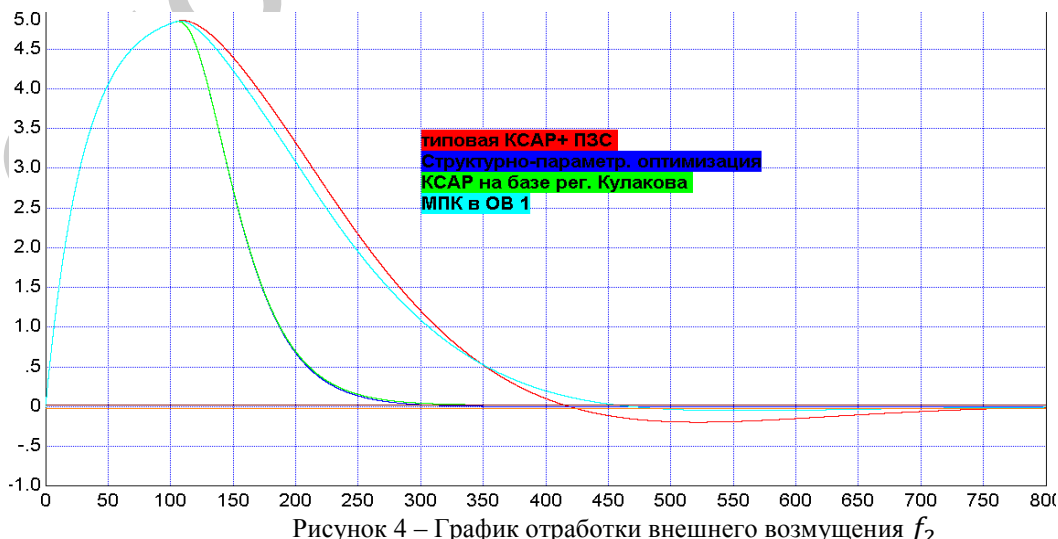


Рисунок 4 – График отработки внешнего возмущения f_2

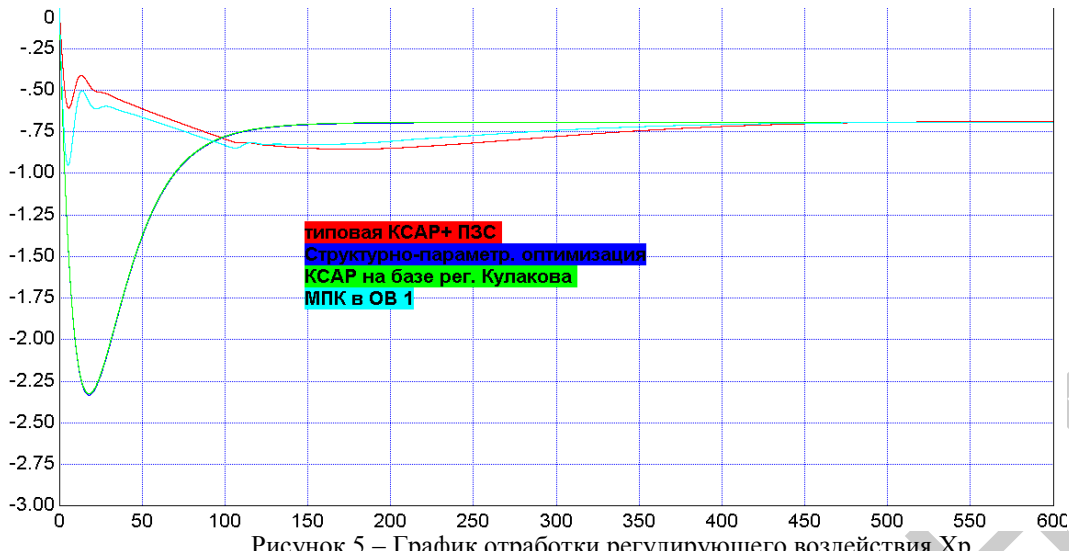
Рисунок 5 – График отработки регулирующего воздействия X_p

Таблица 2 – ППК регулирования лучших КСАР

	Типовая КСАР (+ПЗС)	Структ.- парам. оптимиз.	МПК в ОВ 1	КСАР на базе регул. Кулакова
Показатели качества при отработке скачка задания, $x_{зд}$				
t_{Π} , с	616,07	188,69	391,07	190,71
A_{1+}^{\max}	1,04	–	–	–
Показатели качества при отработке крайнего внешнего возмущения, f_2				
t_{Π} , с	752,11	330,84	454,18	334,75
A_{1+}^{\max}	4,84	4,84	4,84	4,84
Максимальное регулирующее воздействие, x_p^M				
A_{1-}^{\max}	-0,61	-2,3	-0,94	-2,3
Показатели качества при отработке крайнего внутреннего возмущения, f_1				
t_{Π} , с	202,29	642,8	202,29	600,0
A_{1+}^{\max}	0,031	0,33	0,031	0,33

Из анализа таблицы 2 можно сделать следующие выводы:

- При отработке Хзд СПО и КСАР на базе Кулакова показали лучшие результаты. С помощью этих методов мы уменьшили время полного регулирования в 3,1 раза.
- При отработке внутреннего возмущения f_1 метод МПК в ОВ-1, а также типовая КСАР имеют лучшие ППК благодаря использованию ПЗС.
- При отработке крайнего внешнего возмущения СПО и КСАР на базе Кулакова имеют лучшее время полного регулирования (в 2,3 раза меньше, чем у типовой КСАР).

Литература

- Плетнев, П.Г. Автоматизированное технологических процессов и производств в теплоэнергетике. Учебное пособие для вузов. – М.: Издательский дом МЭИ, 2007.
- Паспорт микропроцессорного регулятора «Simatic S7-1200».
- Кулаков, Г.Т. Инженерные экспресс-методы расчета промышленных систем регулирования. – Мин.: «Вышэйшая школа», 1984. – 192 с.
- Кулаков, Г.Т. Анализ и синтез систем автоматического регулирования. – Мин.: УП «Технопринт», 2003. – 134 с.